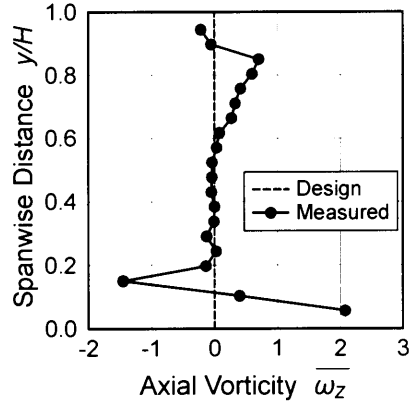
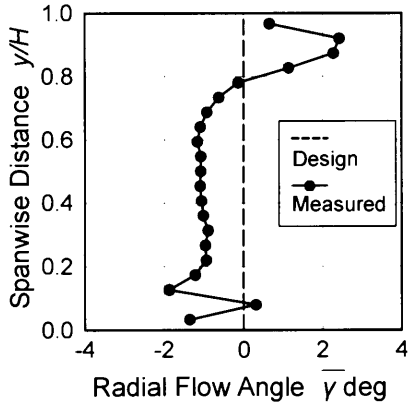
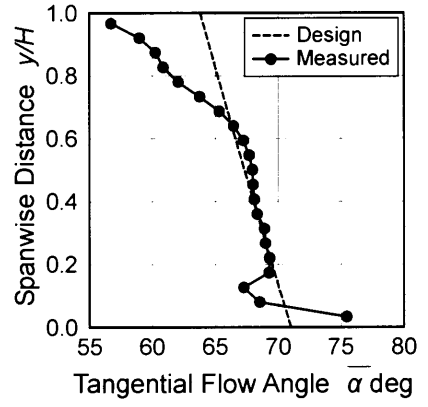
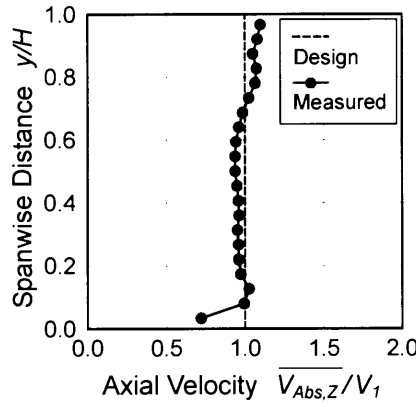
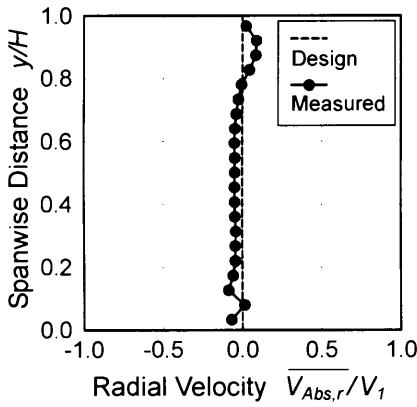
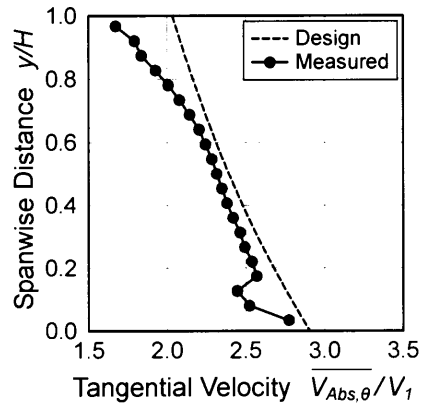
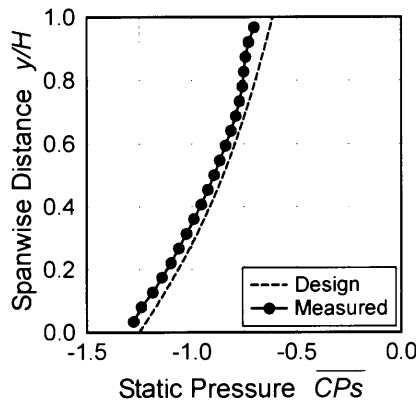
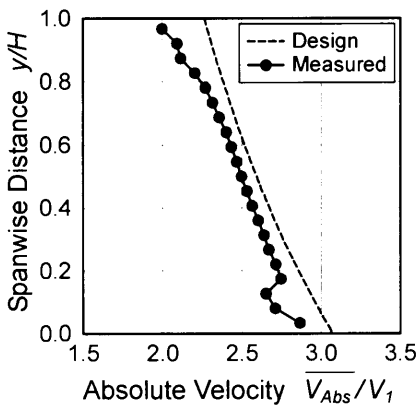
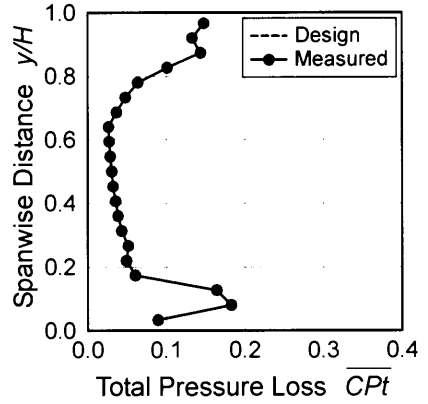
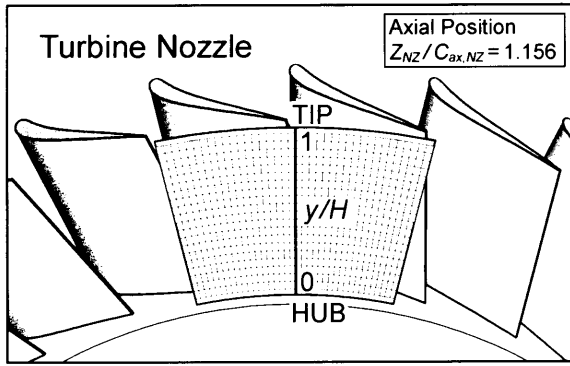
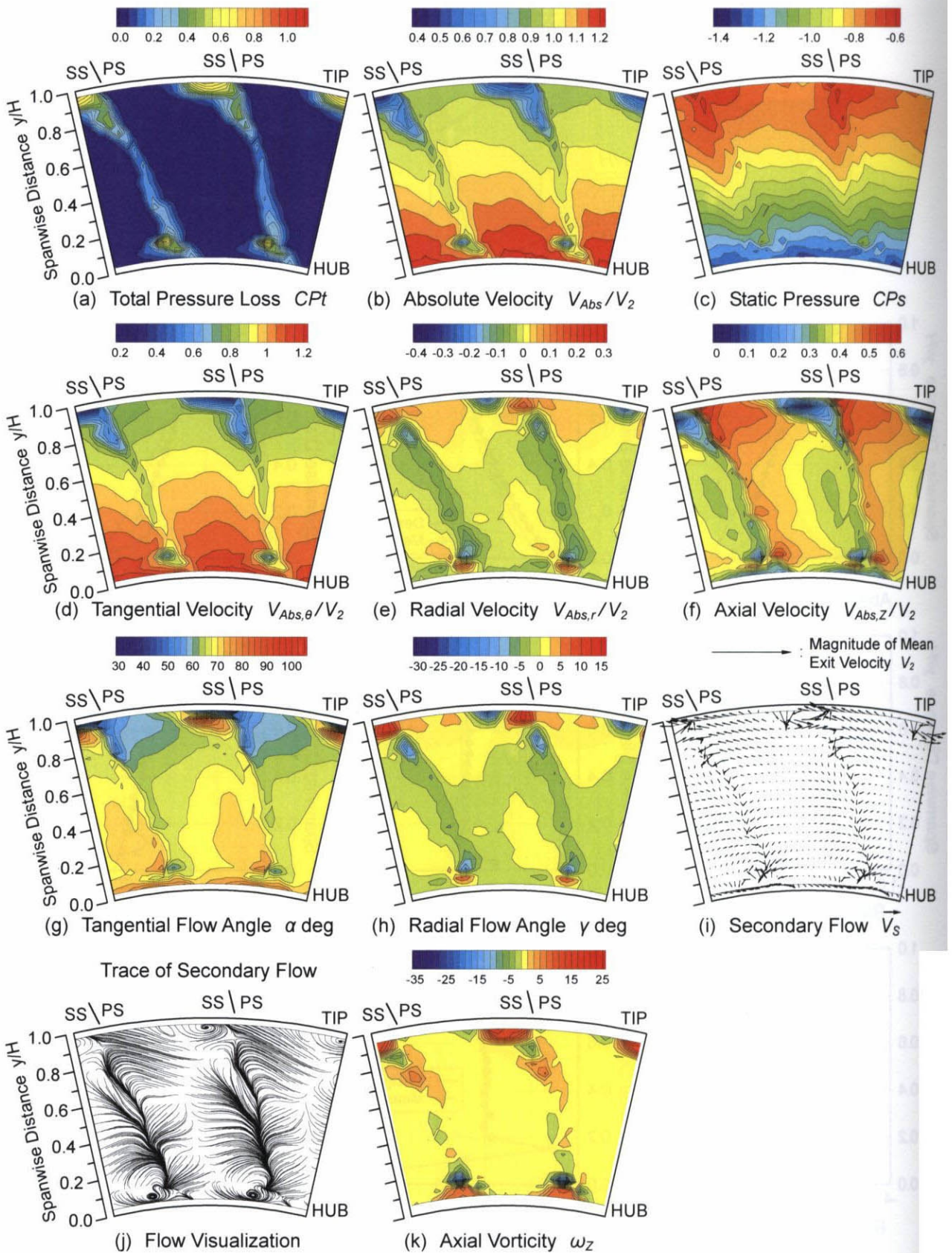


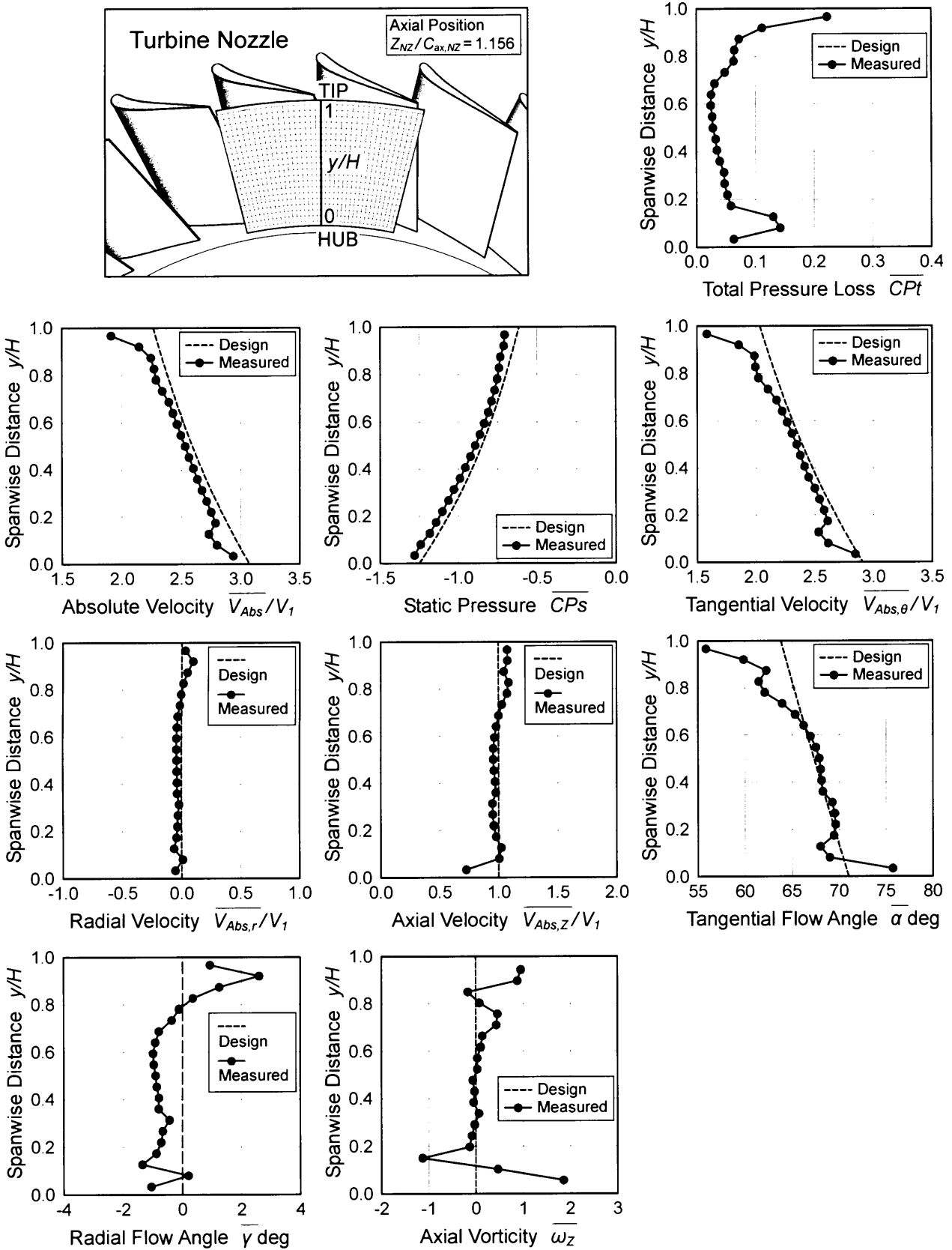
付図 2.49 レイノルズ数 $Re_{out,NZ} = 13.0 \times 10^4$, 主流乱れ度 $Tu_{in} = 0.5\%$, チップクリアランス $k/H = 0.67\%$ における静翼出口流れの測定結果 ($Z_{NZ}/C_{ax,NZ} = 1.156$)



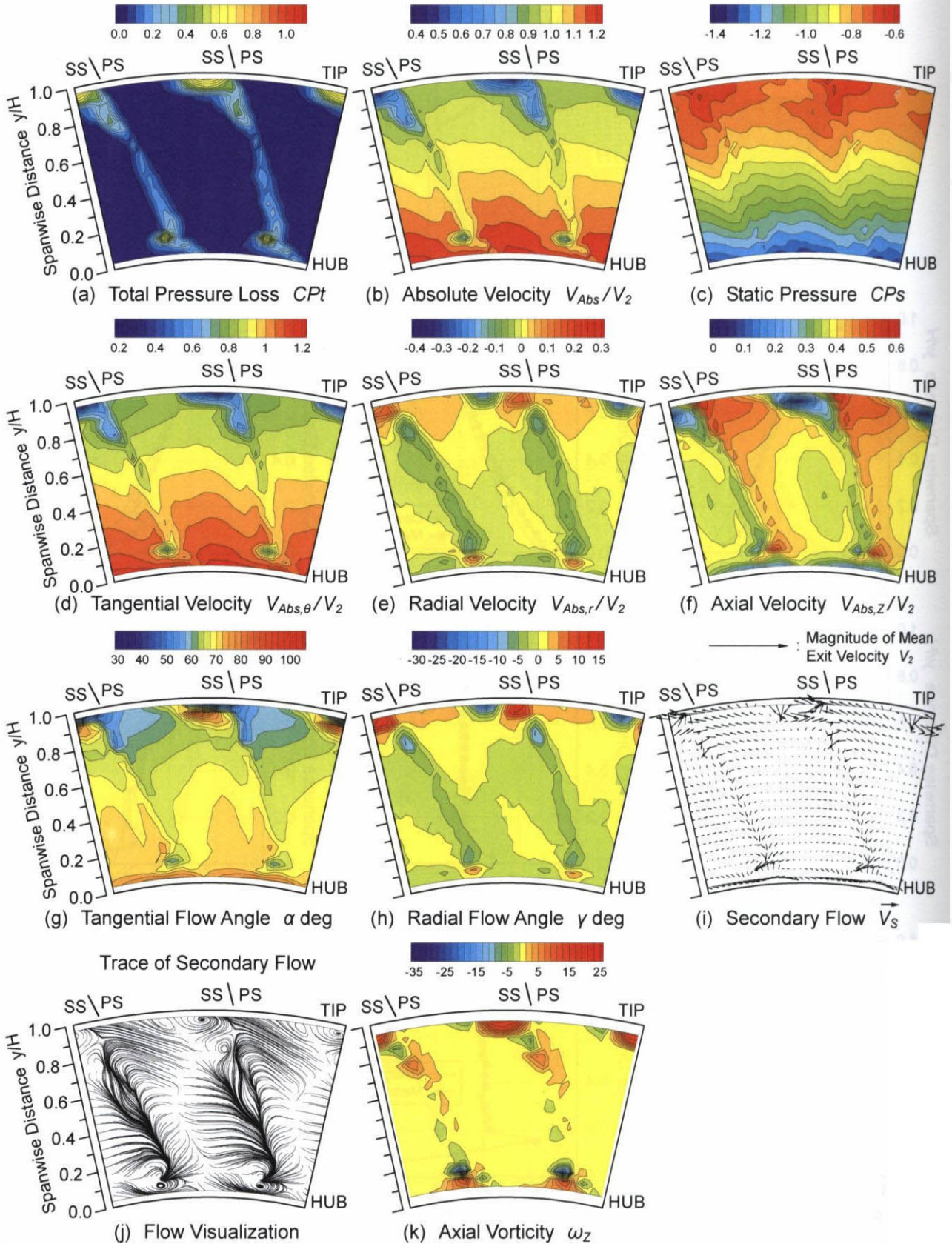
付図 2.50 レイノルズ数 $Re_{out,NZ} = 13.0 \times 10^4$, 主流乱れ度 $Tu_m = 0.5\%$, チップクリアランス $k/H = 0.67\%$ における静翼出口流れの半径方向分布



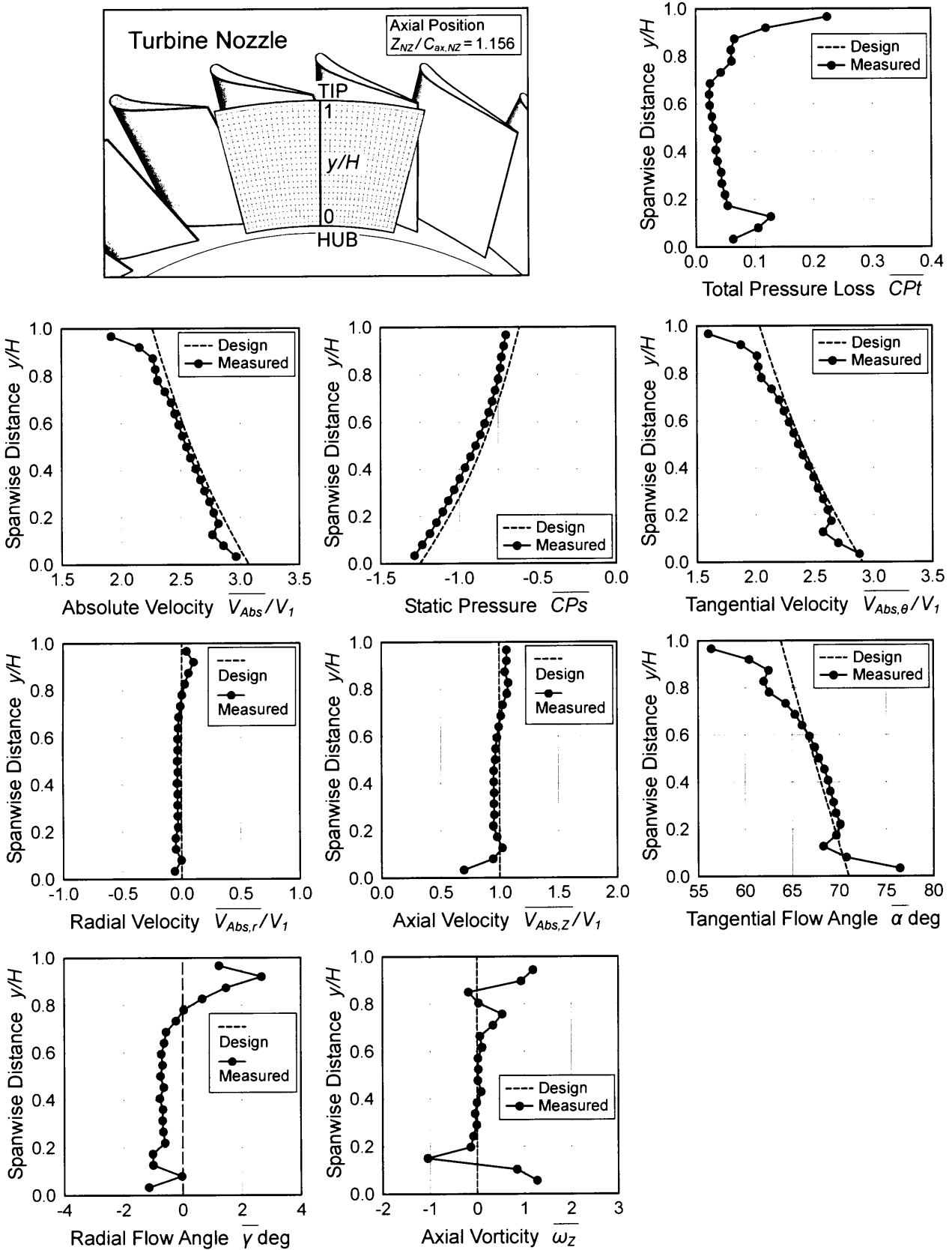
付図 2.51 レイノルズ数 $Re_{out,NZ}=17.4 \times 10^4$, 主流乱れ度 $Tu_{in}=0.5\%$, チップクリアランス $k/H=0.67\%$ における静翼出口流れの測定結果 ($Z_{NZ}/C_{ax,NZ}=1.156$)



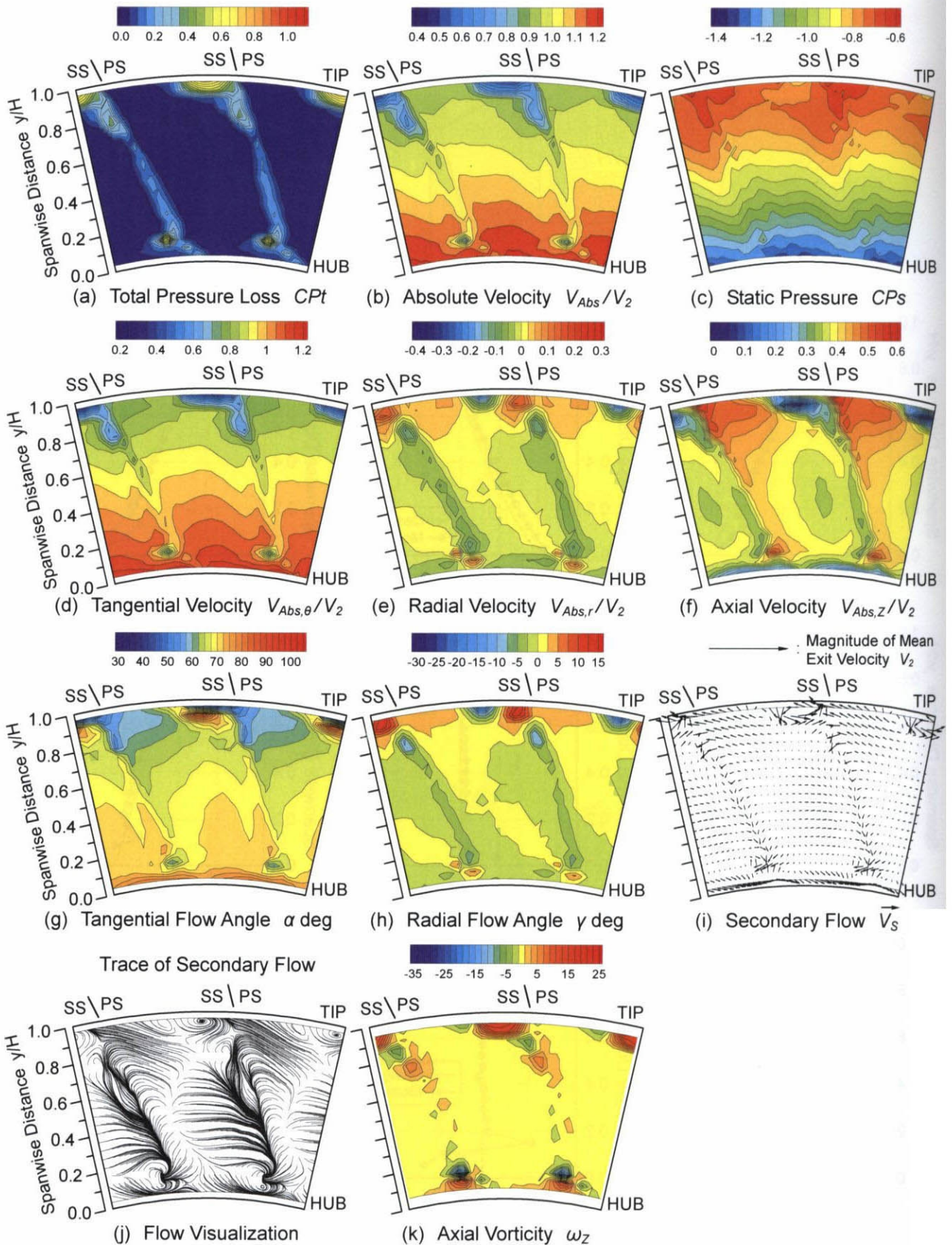
付図 2.52 レイノルズ数 $Re_{out,NZ} = 17.4 \times 10^4$, 主流乱れ度 $Tu_{in} = 0.5\%$, チップクリアランス $k/H = 0.67\%$ における静翼出口流れの半径方向分布



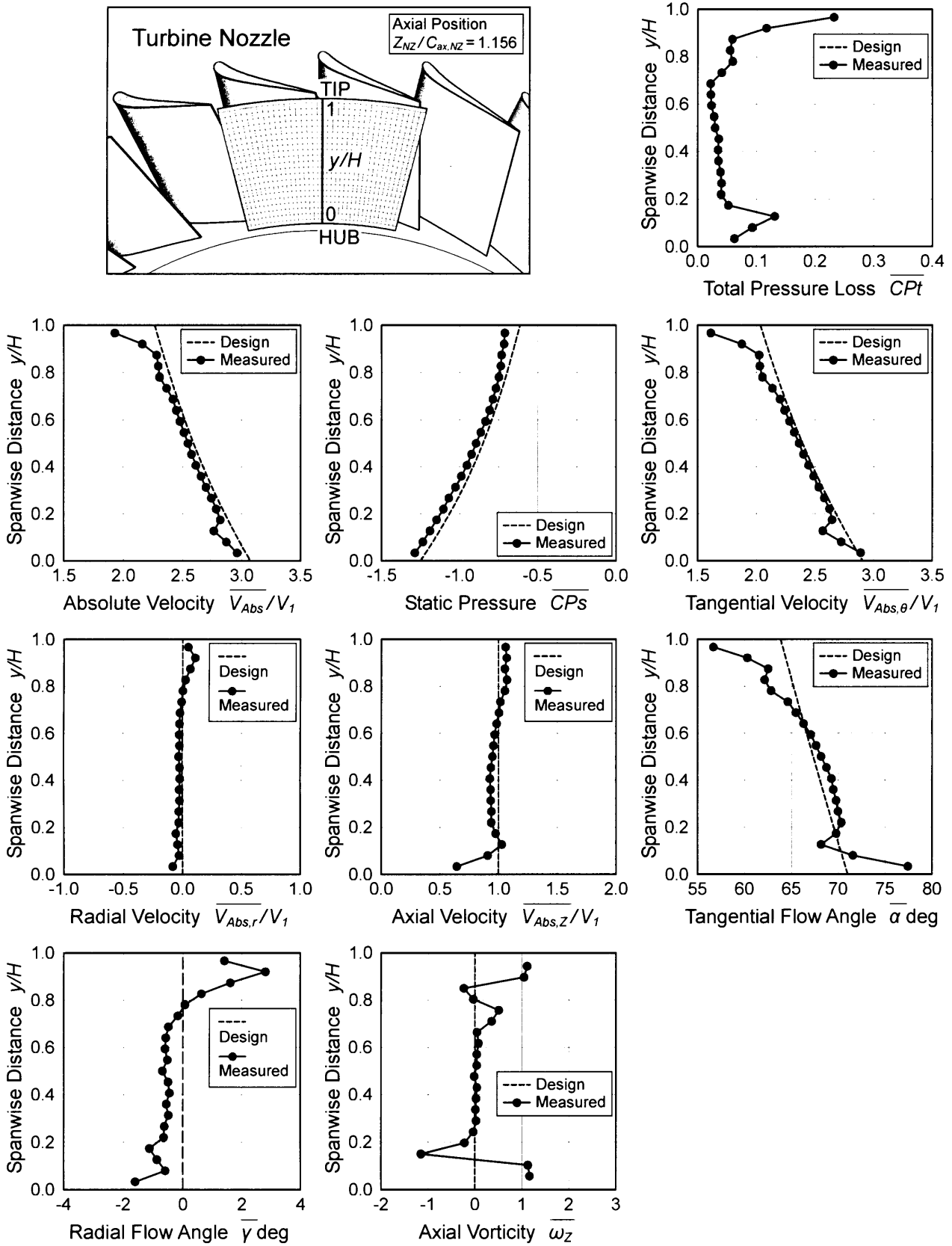
付図 2.53 レイノルズ数 $Re_{out,NZ}=21.5 \times 10^4$, 主流乱れ度 $Tu_m=0.5\%$, チップクリアランス $k/H=0.67\%$ における静翼出口流れの測定結果 ($Z_{NZ}/C_{ax,NZ}=1.156$)



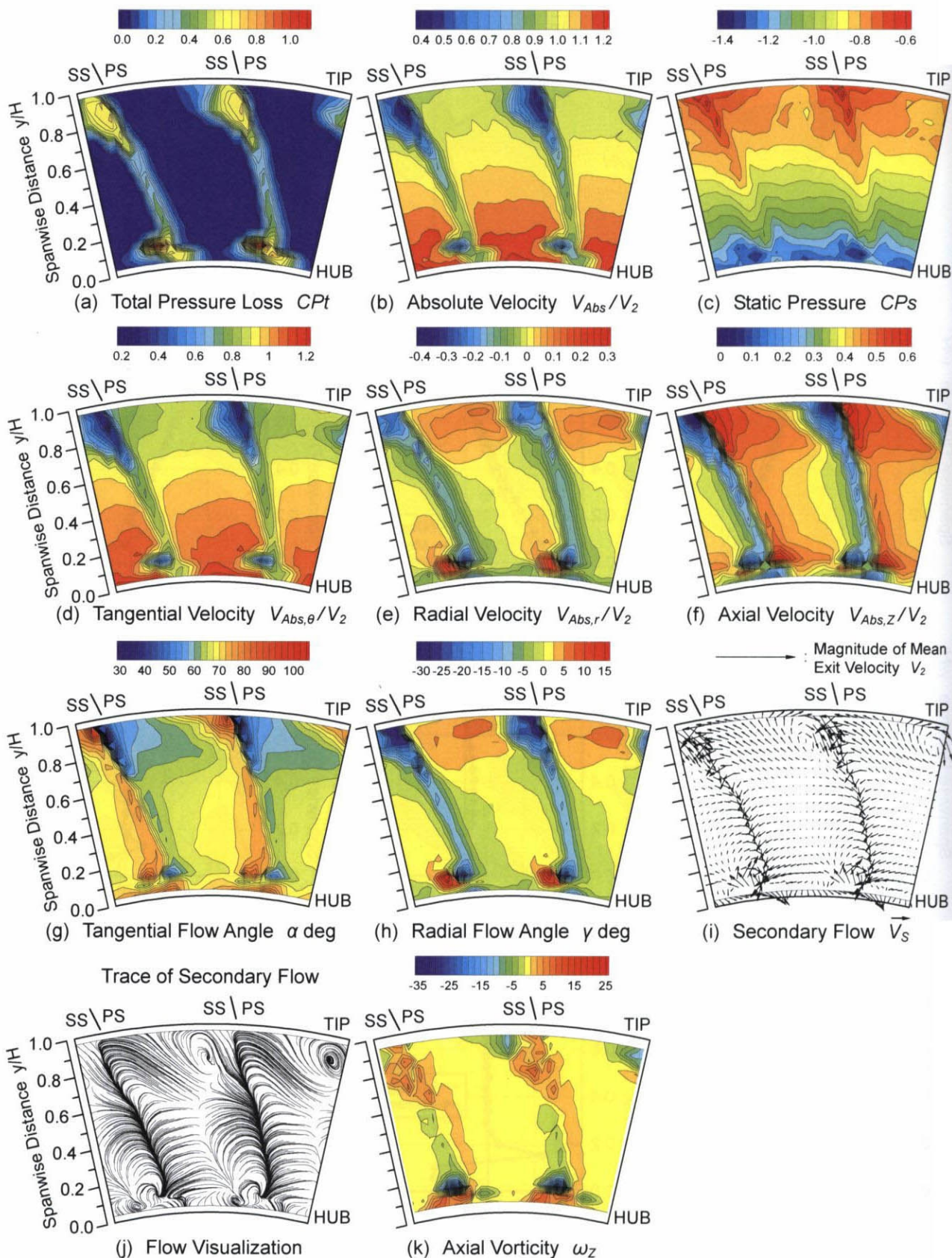
付図 2.54 レイノルズ数 $Re_{out,NZ} = 21.5 \times 10^4$, 主流乱れ度 $Tu_m = 0.5\%$, チップクリアランス $k/H = 0.67\%$ における静翼出口流れの半径方向分布



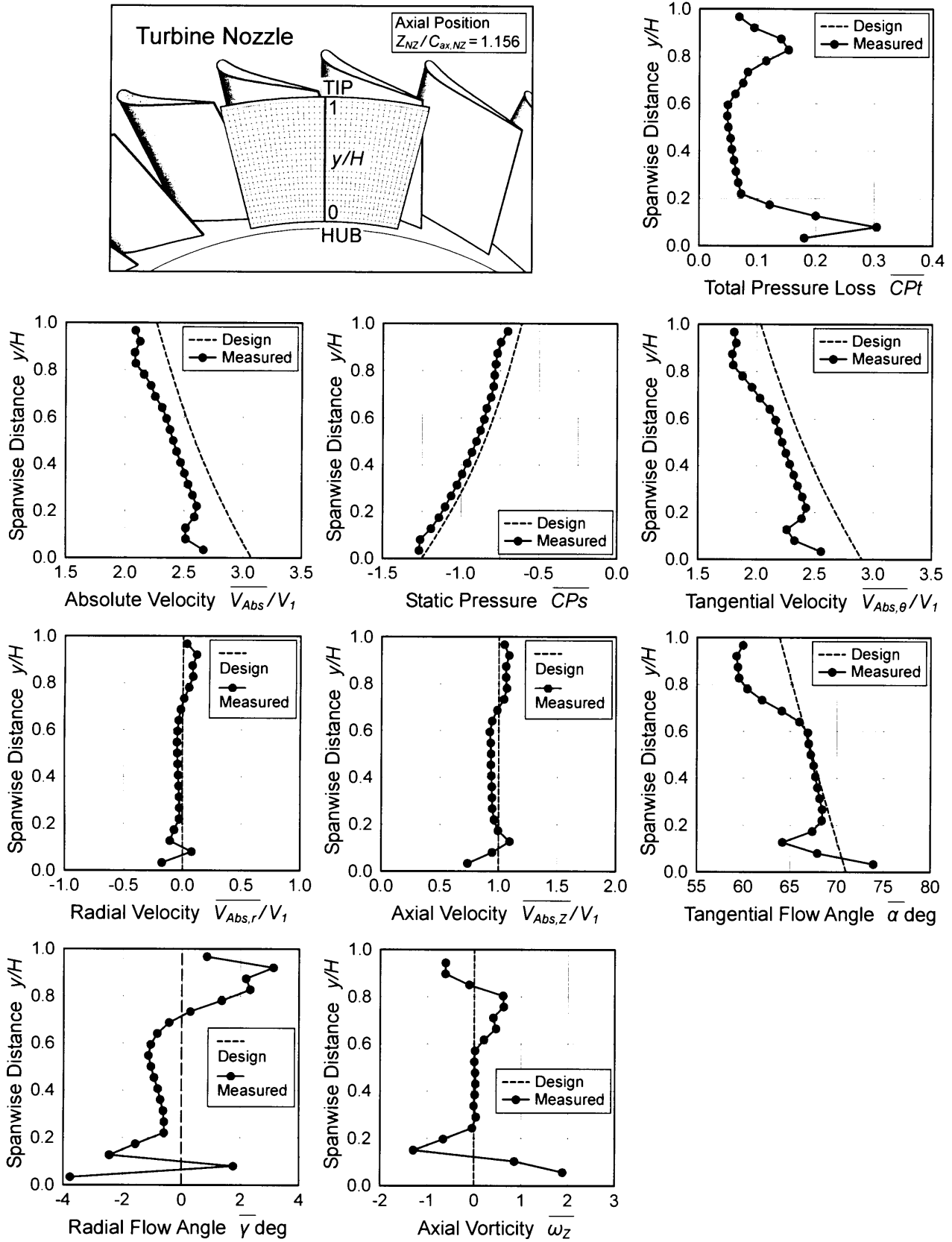
付図 2.55 レイノルズ数 $Re_{out,NZ}=26.0 \times 10^4$, 主流乱れ度 $Tu_m=0.5\%$, チップクリアランス $k/H=0.67\%$ における静翼出口流れの測定結果 ($Z_{NZ}/C_{ax,NZ}=1.156$)



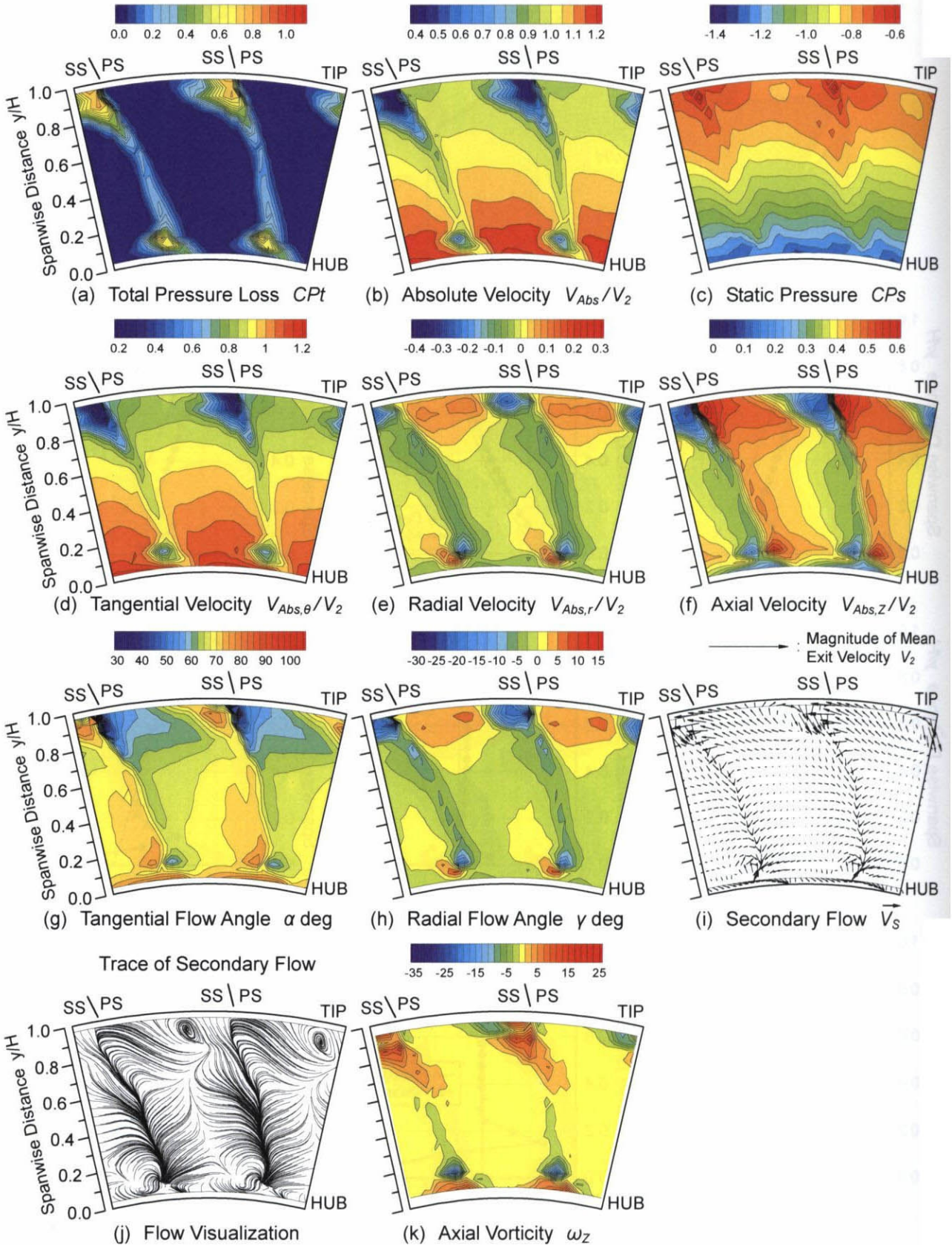
付図 2.56 レイノルズ数 $Re_{out,NZ} = 26.0 \times 10^4$, 主流乱れ度 $Tu_m = 0.5\%$, チップクリアランス $k/H = 0.67\%$ における静翼出口流れの半径方向分布



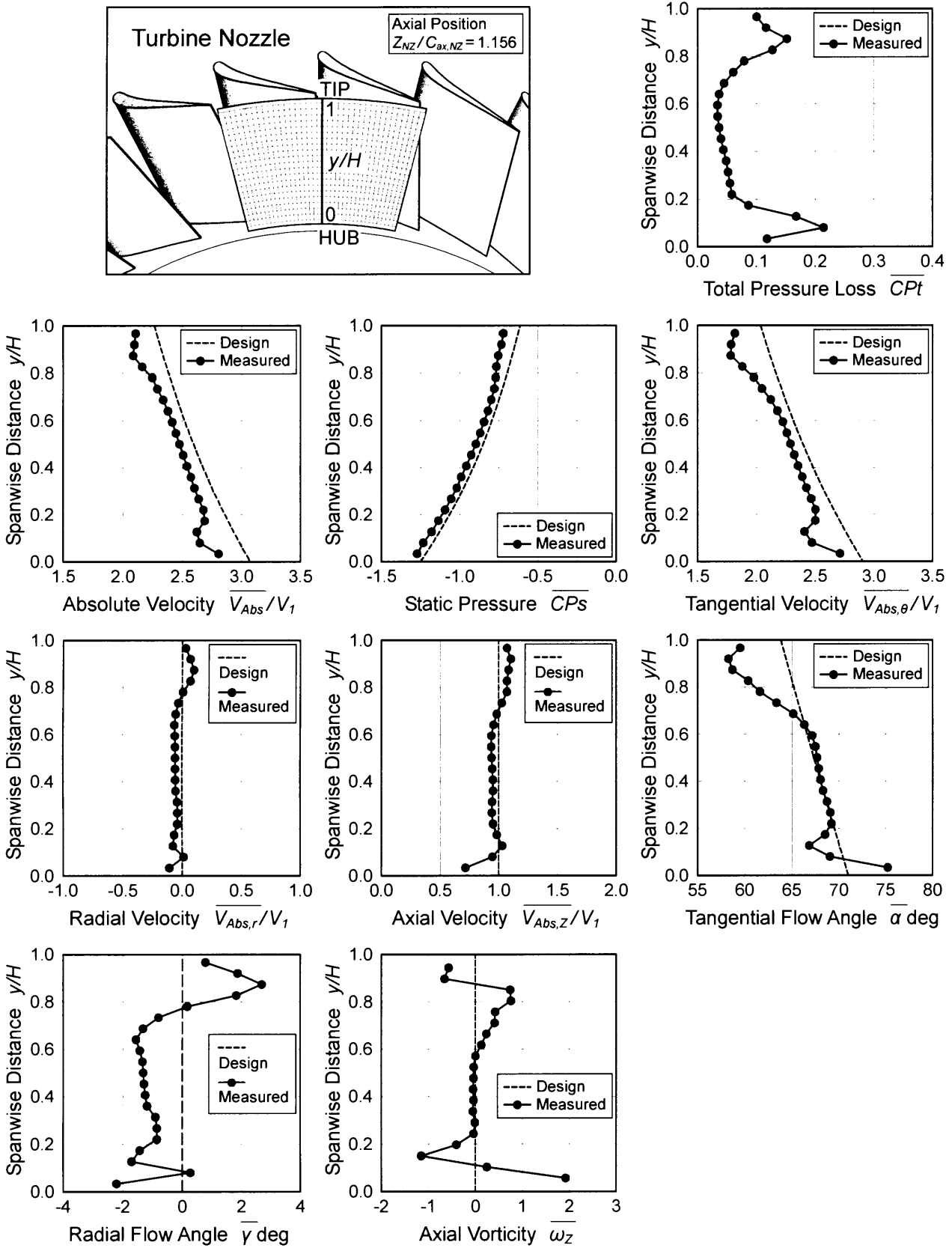
付図 2.57 レイノルズ数 $Re_{out,NZ}=4.2 \times 10^4$, 主流乱れ度 $Tu_m=0.9\%$, チップクリアランス $k/H=0.67\%$ における静翼出口流れの測定結果 ($Z_{NZ}/C_{ax,NZ}=1.156$)



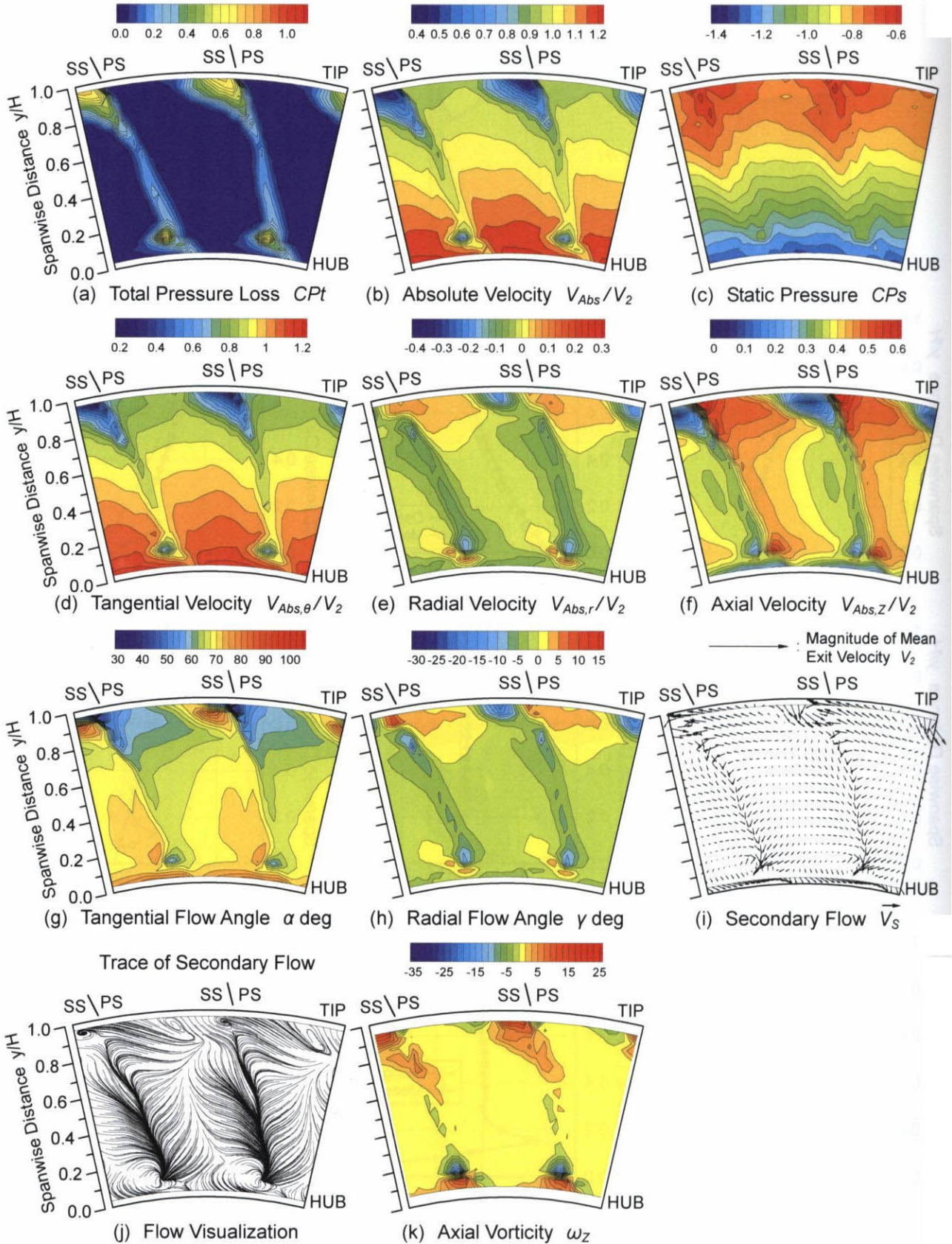
付図 2.58 レイノルズ数 $Re_{out,NZ} = 4.2 \times 10^4$, 主流乱れ度 $Tu_{in} = 0.9\%$, チップクリアランス $k/H = 0.67\%$ における静翼出口流れの半径方向分布



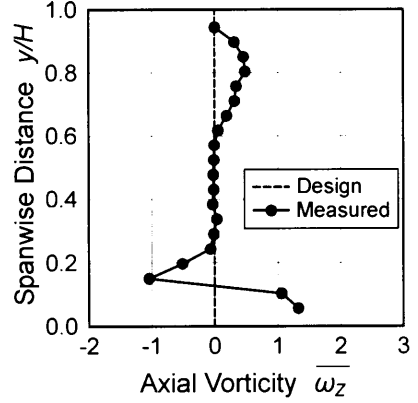
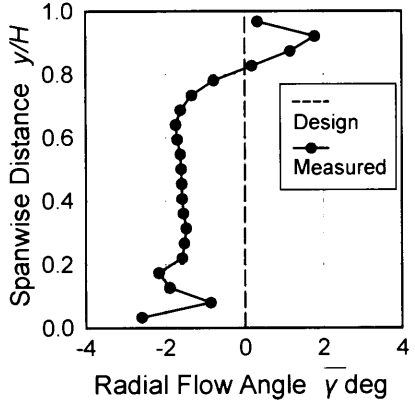
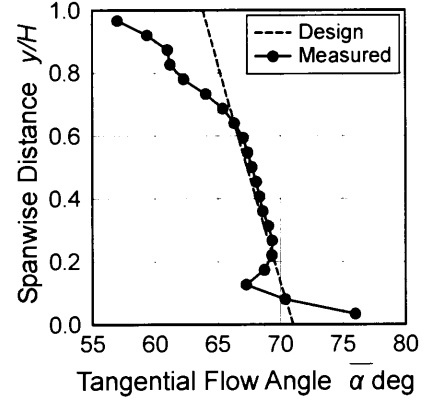
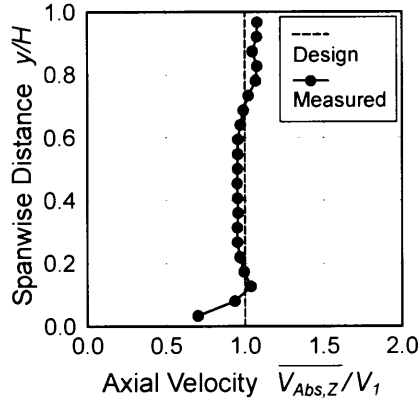
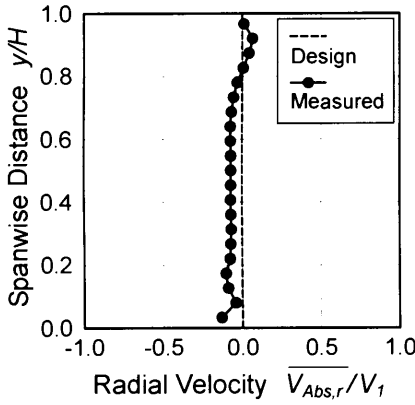
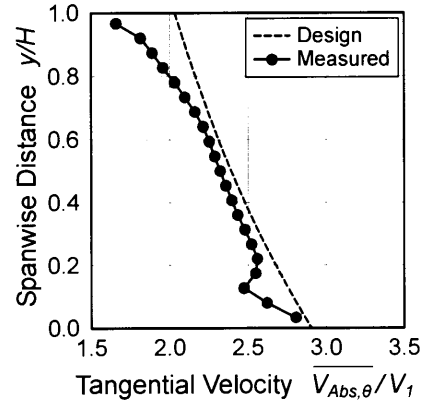
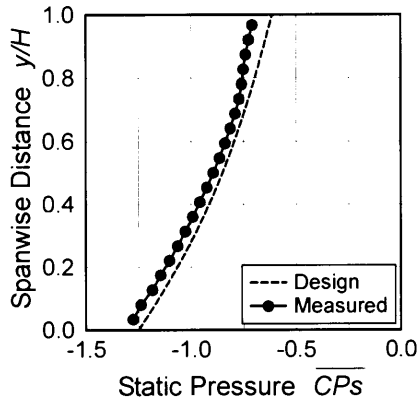
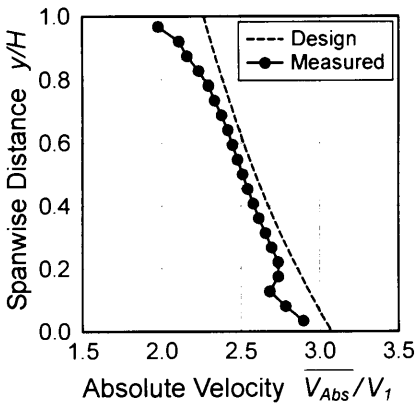
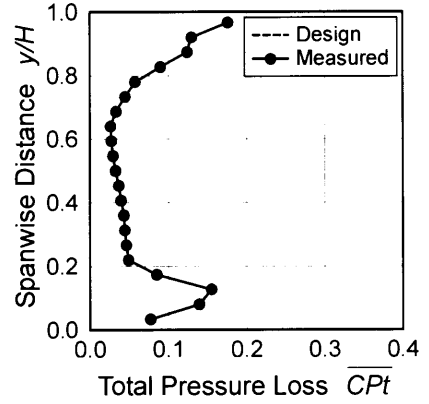
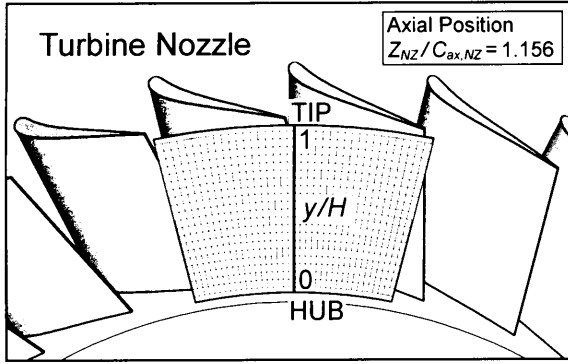
付図 2.59 レイノルズ数 $Re_{out,NZ}=8.6 \times 10^4$, 主流乱れ度 $Tu_{in}=1.1\%$, チップクリアランス $k/H=0.67\%$ における静翼出口流れの測定結果 ($Z_{NZ}/C_{ax,NZ}=1.156$)



付図 2.60 レイノルズ数 $Re_{out,NZ} = 8.6 \times 10^4$, 主流乱れ度 $Tu_{in} = 1.1\%$, チップクリアランス $k/H = 0.67\%$ における静翼出口流れの半径方向分布



付図 2.61 レイノルズ数 $Re_{out,NZ}=13.0 \times 10^4$, 主流乱れ度 $Tu_{in}=1.3\%$, チップクリアランス $k/H=0.67\%$ における静翼出口流れの測定結果 ($Z_{NZ}/C_{ax,NZ}=1.156$)



付図 2.62 レイノルズ数 $Re_{out,NZ} = 13.0 \times 10^4$, 主流乱れ度 $Tu_{in} = 1.3\%$, チップクリアランス $k/H = 0.67\%$ における静翼出口流れの半径方向分布